

(20) 撮積岩の中間主応力効果と残留強度特性について

北海道大学工学部

高橋 學

地質調査所

小出 仁

北海道大学工学部

木下 重政

1.はじめに

地下岩盤内部は二つの主応力が異なり三次元応力下にあることが種々の地圧測定^{(1)～(3)}により観測されている。したがって、岩盤の力学的挙動を把握するためには、二つの主応力を独立に加えられた装置を用いた室内試験が必要である。木下は封圧下で二軸圧縮試験を行なうという方法で、より一般的な応力場を再現することに成功した。本研究は木下式の三軸圧縮試験装置を用いることにより、50MPa以下の低封圧領域における粗積岩の強度特性、特に中間主応力効果について調査したものである。試験はひずみ計測の他に弾性波伝播速度の計測を行なった。

2. 試験方法

図-1は載荷前の供試体を最小主応力方向から見た場合の模式図である。最大主応力(σ_1)と中間主応力(σ_2)は二組の剛体ピストンにより、最小主応力(σ_3)は油圧により負与された。最大と中間主応力方向のひずみはクロス型ひずみゲージで、最小主応力方向の変位は変位変換器で測定した。中間主応力方向の端面拘束を減じるために、側方エンドピースと供試体との間にテフロンシートとシリコンブリースを挿入した。

図-2は載荷経路を示したものである。同図(a)は従来の二軸圧縮試験における経路である。(b), (c)は中間主応力が作用した場合の載荷経路である。(b)では中間主応力を先に負与した後、最大主応力方向への負与に対するに対し、(c)は中間主応力値まで最大・中間の主応力方向の負与を同時にを行い、その後最大主応力の負与のみを継続する。本実験では(b)を主に用い、(c)は補助的に用いた。なお、変位量の測定は図-1の太線圧縮で示される領域で行われた。

図-3は弾性波の測定の様子を中間主応力軸方向から見た場合の模式図である。圧電素子型のトランスデューサは供試体の最小主応力面上の中央部に一組設置した他に下部のエンドピースの中に組み込んである。

3. 強度特性

3.1 強度におよぼす中間主応力の影響

図-4(a)～(d)は自凝砂岩、細粒大理石、夕張炭鉱産頁岩、幌内炭鉱産砂岩の破壊時における最大主応力と中間主応力との関係を示したものである。いずれの岩種においても強度に関し、次の傾向が認められる。1)少くとも、中間主応力が小さい(すなわち、時に近づく)時には中間主応力の増加に伴なう強度は増加する。2)中

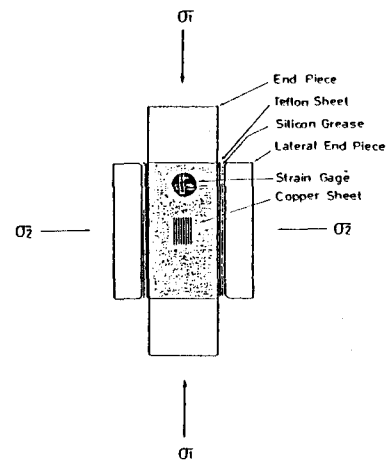


図1 最小主応力方向から見た供試体の組立図

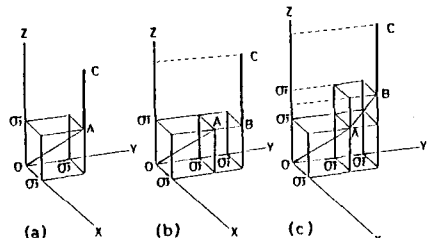


図2 載荷経路

向主た力が大きくなり、最大主应力に近づくにつれ破壊は逆に減少する傾向を示すものが多い。3)破壊強度に及ぼす中間主应力効果は最も主应力の増加と共に増加する。4)3)の傾向は白浜砂岩など顕著に認められるので、中間主应力効果は脆性的な岩石よりは延性的な岩石の方が大きいと言える。この事から、さらに、封圧の増加に伴ない岩石は脆性状態から延性状態へと遷移するので、同一の岩種でも最小主应力が異なるれば中間主应力効果が違う可能性があるものと推定される。

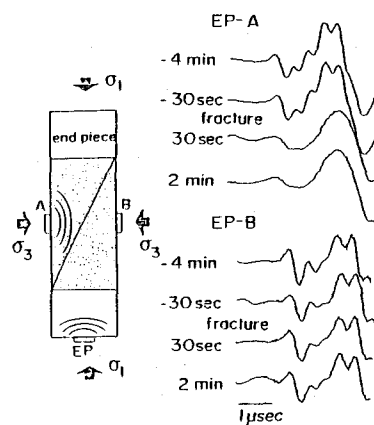
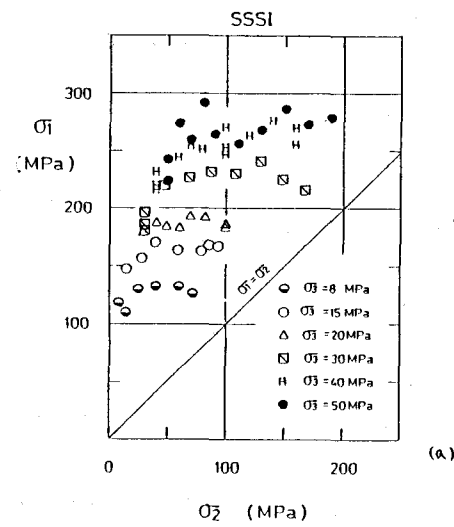
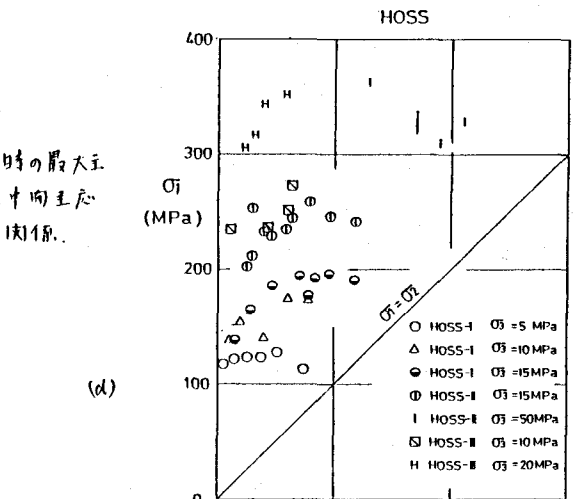


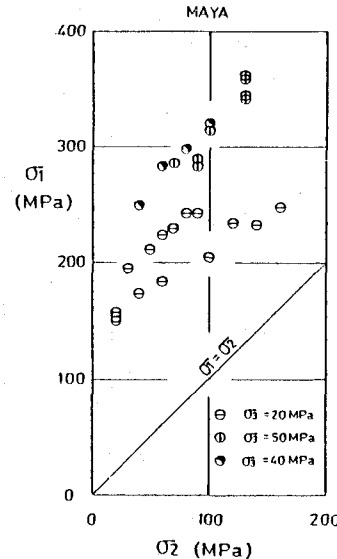
図-3 弾性波測定
定積式回と得られた
波形の一例



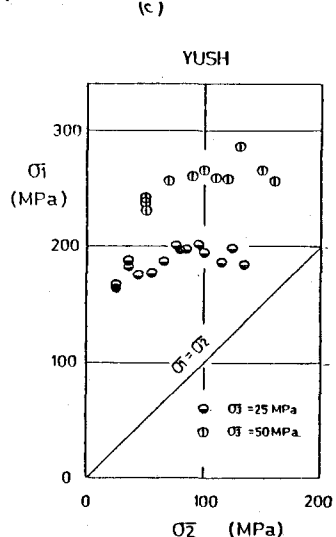
(a)



(d)



(b)



(c)

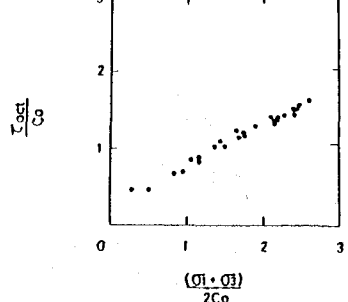


図-5 破壊時の $\frac{\sigma_1 - \sigma_2}{\sigma_1 + \sigma_2}$ と $\frac{\sigma_3}{\sigma_1 + \sigma_2}$ の関係

3.2 破壊条件式

現在までに提案されている破壊条件式は中間主応力を考慮していないが、たり、考慮しても実験的説明が不十分なもののが多かった。Miyajiは延性金属に多く当てはまる Von Mises の式を一般化した次式¹⁾で、組合せ応力下における岩石の破壊強度と適合することを見出した。

$$T_{oct} = f(\sigma_1 + \sigma_3) \quad \dots \quad (1)$$

ここで、 f は单调增加関数である。本試験結果を整理したところ、図-5に示すように、(1)式は直線で近似できることがわかった。すなむち、(1)式は次のように表現される。

$$T_{oct}/C_0 = a + b \{ (\sigma_1 + \sigma_3)/2 C_0 \} \quad \dots \quad (2)$$

ここで、 C_0 は単軸圧縮強度である。なお、(2)式は係数 $b=0$ とすると Von Mises 式に一致する。 b は圧力依存性を示すパラメータである。また、(2)式中の係数 a 、 b は従来の封圧試験だけからも求まるので、一般的な応力場で試験を実施しても、任意の最小主応力の値と中間主応力効果を予想することができる。

4 残留強度特性

残留強度は前述した破壊実験において、最大強度より後の差応力のひずみ曲線から得られる。図-6は残留強度と中間主応力との関係について整理したものである。いずれの岩種および最小主応力においても、中間主応力は残留強度に影響を及ぼすことが認められる。これは巨視的断面が最終的には常に中間主応力と平行に生じることと関連していると考えられた。

残留強度状態に至る間に応力低下が生じ、これが供試体内で形成されたクラックに対しどうよろしく影響を及ぼすのかを解明するために弹性波の測定を実施した。この測定のために、单一の破断面が平均せん断方向に形成されるならばならない。そこで、供試体として細粒大理石(山口県産)を選び、応力状態は最小主応力を 20 MPa 、中間主応力を 50 MPa とした。図-7は破断面形成前後の各方向の差応力と三主ひずみの変化を示したものである。

図-6 中間主応力と残留強度との関係
最大と中間の主ひずみは、 ϵ_3 は破断面形成後回復していきのに反し、最小主ひずみは逆に増加していく。このひずみの増加分はそのほとんどが破断面上の相対的すべり変位で説明できる。また、右方向の速度に関する図-8に示すように、破断面形成前では 50% もの減少が認められる。図-9は破断面形成前後の右方向の速度変化を示したものであるが、破断面形成後、約 6% の回復が認められる。この方向のひずみが破断面形成後、

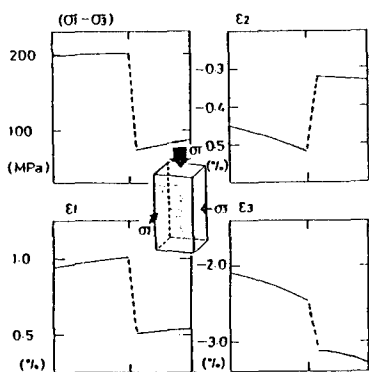
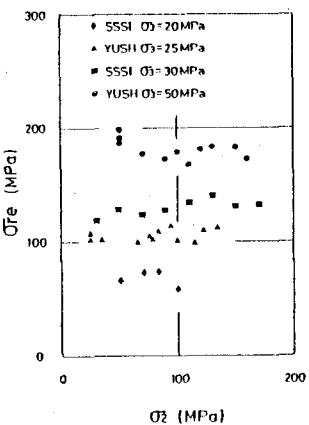


図-7 破断面形成前後の差応力と
三主ひずみの変化

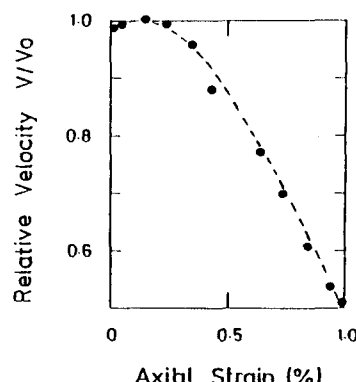


図-8 軸ひずみと速度変化
との関係(右方向)

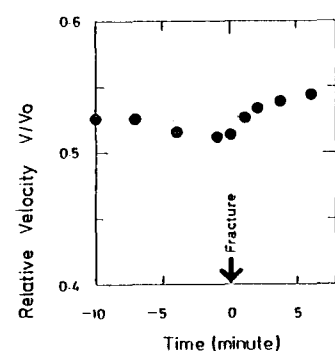


図-9 破断面形成前後の速度変化
(右方向)

約 0.6 % 増加していること、および破断面に沿る破碎帶の形成による相反する効果を考慮すれば、この量はやたらと重めであると言える。破断面形成前の各方向の変位の増加は主に、中向主応力軸と平行なタグクラックの増加に帰因すると考えられる⁶⁾。速度回復はこの方向のクラックが部分的に閉鎖したことと思われる解釈でき、したがって、組合せ応力下における岩石の残留強度状態では、破断面を含む破碎帶以外のクラックの大半が閉鎖し、載荷前の状態に戻っていることが予想される。

5. 考察

組合せ応力下における、中向主応力は岩石の変形・破壊特性にかなりの影響を及ぼす。これは微視的には岩石内部のクラックをもたらす、変形や破壊に内包するものの分布や数の変化に影響をあたえている。すなはち、中向主応力の増加はこれと直交する角度にあるクラックを開鎖させ、その結果、破壊にあたずクラック数を減少させる作用をする。したがって、中向主応力軸と若干の角度を有するクラックが卓越するところになる。これは中向主応力の増加により、中向主応力方向のエネルギー吸収速度が著しく減少し⁷⁾、中向主応力と最小主応力方向のエネルギー吸収速度の異方性が顕著となることを良く説明できる。破壊強度実験後、このように卓越していたクラックは最大エネルギー吸収方向へ再び閉鎖し、破断面上に作用するき裂の運動の跡が卓越するようになる。つまり、これが最も残留強度であり、この状態ではもはや、中向主応力の影響を受けないことが確認された。

(謝辞)

本研究に關して、北海道大学工学部資源開発工学科 石島洋二助教授、同じく中村幸助教授を御礼。ここに記して感謝の意を表します。

参考文献

- 1) 高橋・岡・伊藤・田中(1974)：岩盤内の地山応力と地殻的圧縮度を示す地殻応力との関連について、材料、23巻 248号、PP. 380～386.
- 2) 小出仁(1976)：地下の応力を測る、地質ニュース、チズル7号、PP. 14～22.
- 3) 龜岡美友(1978)：ボアホール底面上の応力解放による岩盤応力測定に関する研究、東京大学学位論文
- 4) Mogi, K (1971a) : Fracture and flow of rocks under high triaxial compression, J. Geophys. Res., vol 76, NO. 5, PP. 1255～1269.
- 5) Mogi, K (1971b) : Effect of the triaxial stress system on the failure of dolomite and limestone, Tectonophysics, vol 11, NO. 11, pp. 111～127.
- 6) 高橋・木下・西澤・小出・今葉：真三軸圧縮下でのウエストリー花崗岩の弹性波速度異方性について、「地震」、投稿中
- 7) 小出・高橋・星野(1983)：地下空洞附近の地下水における真三軸応力の影響について、日本応用地質学会シンポジウム、P47～50.

- (20) The effect of intermediate principal stress on the sedimentary rocks and their properties of residual strength

Manabu Takahashi*

**
Hitoshi Koide

Shigenori Kinoshita*

* Hokkaido University

** Geological Survey of Japan

Abstract

The present experimental objective is to evaluate the effects of intermediate principal stress, which affects on the feature of ultimate strength and/or residual strength of the sedimentary rocks. The general stress states in rock samples were realized strictly by using a Mogi-type true triaxial compressional apparatus, in which the three principal stresses are independently controllable. Elastic wave velocities as well as strains were measured during loading. Following results are obtained:

- 1) The ultimate strength is increasing as the intermediate principal stress increases. This tendency called intermediate principal stress effect is sharply appeared at the low intermediate principal stress and becomes dominant with the increase of minimum principal stress.
- 2) Ductility is another parameter which affects the intermediate principal stress effect. It is more remarkable in the ductile state than the brittle one.
- 3) The following generalized Von Mises criterion proposed by Mogi(1971) correlates well the present results.

$$\frac{\tau_{oct}}{C_0} = a + b \left\{ (\sigma_1 + \sigma_3)/2 C_0 \right\}$$

where, τ_{oct} : octahedral shear stress

C_0 : uniaxial compressive strength

a, b: constants

- 4) The intermediate principal stress affects little on the residual strength.
- 5) Most of the induced cracks, which are flat and oriented parallel to the intermediate principal stress axis, close after the fault formation.